

23/IV-69

P-493

ОБЪЕДИНЕННЫЙ
ИНСТИТУТ
ЯДЕРНЫХ
ИССЛЕДОВАНИЙ

Дубна

Nucl. Phys., 1969, v. # 133, n3,
p. 648-652

P6 - 4365



Х.Роттер, К.Александер, Х.Дростэ, Т.Морек,
В.Нойберт, С.Хойнацкий

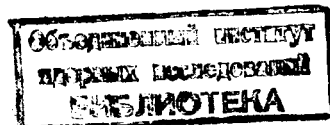
К-ЗАПРЕЩЕННЫЙ ИЗОМЕРНЫЙ ПЕРЕХОД
В ЯДРЕ ^{130}Ba

P6 - 4365

2484/2 пр.
Х.Роттер, К.Александер, Х.Дростэ, Т.Морек,
В.Нойберт, С.Хойнацкий

К-ЗАПРЕЩЕННЫЙ ИЗОМЕРНЫЙ ПЕРЕХОД
В ЯДРЕ ^{130}Ba

Направлено в Nucl. Phys.



1. Введение

В настоящее время имеется значительное число экспериментальных фактов, свидетельствующих о наличии деформации в области нейтронодефицитных ядер с $Z > 54$, $N < 78$. Непосредственным доказательством равновесной деформации у нечётных ядер является идентификация нильссоновских уровней. Она может также дать знак деформации, как это показано нами для ядра ^{129}La ^{1/2}.

Деформация чётных ядер доказывается, как правило, наличием ротационной или квазиротационной полосы основного состояния. Однако ядра в указанной области являются "мягкими" по отношению к β - и γ -деформациям и ротационная полоса сильно искажается. Поэтому важно иметь другие аргументы в пользу равновесной деформации, основывающиеся на ротационном характере уровней. Таким аргументом является установление К-запрета изомерного перехода.

Целью настоящей работы является определение характера изомера в ядре ^{130}Ba , с периодом полураспада 8,8 мсек, обнаруженного нами ранее ^{1/2}. В работе ^{2/2} были предложены два варианта схемы распада изомера (рис. 1), один из которых экспериментально подтвержден настоящей работой.

2. Эксперименты

Опыты проводились на выведенном пучке циклотрона многозарядных ионов У-300 ОИЯИ на установке, подробно описанной в работе ^{1/1}. Распад изомера $^{130}\text{Ba}^m$ изучался при импульсном облучении металлических мишеней.

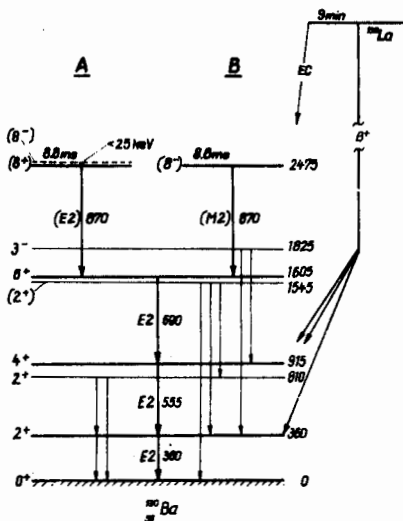


Рис. 1. Схема уровней ядра ^{130}Ba с двумя возможными вариантами распада изомера. Слабые линии обозначают уровни и переходы, известные из распада ^{130}La [3].

ней из обогащенного олова-122 в реакции $^{122}\text{Sn}(^{12}\text{C}, 4n) ^{130}\text{Ba}^m$ в заданных интервалах между импульсами облучения. На рис. 2 показан γ -спектр, измеренный $\text{Ge}(\text{Li})$ -спектрометром. Рис. 3 показывает спектр электронов внутренней конверсии всех четырех интенсивных переходов изомера, измеренный безжелезным тороидальным β -спектрометром. Временным анализом в пике линий K356 и K881 было подтверждено, что линии имеют период полураспада изомера. Так как измерение одного участка спектра потребовало 2 - 3 часа, линия K881 может содержать вклад линии K892 от распада $^{129}\text{Ba}^m$ (2.1 ч.) из реакции $^{122}\text{Sn}(^{12}\text{C}, 5n) ^{129}\text{Ba}^m$.

Но специальный опыт для нескольких точек с временным режимом, использованным для γ -измерений, показал, что отношение интенсивностей линий K356 и K881, взятых из разниц между первым и вторым спектрами, не меняется.

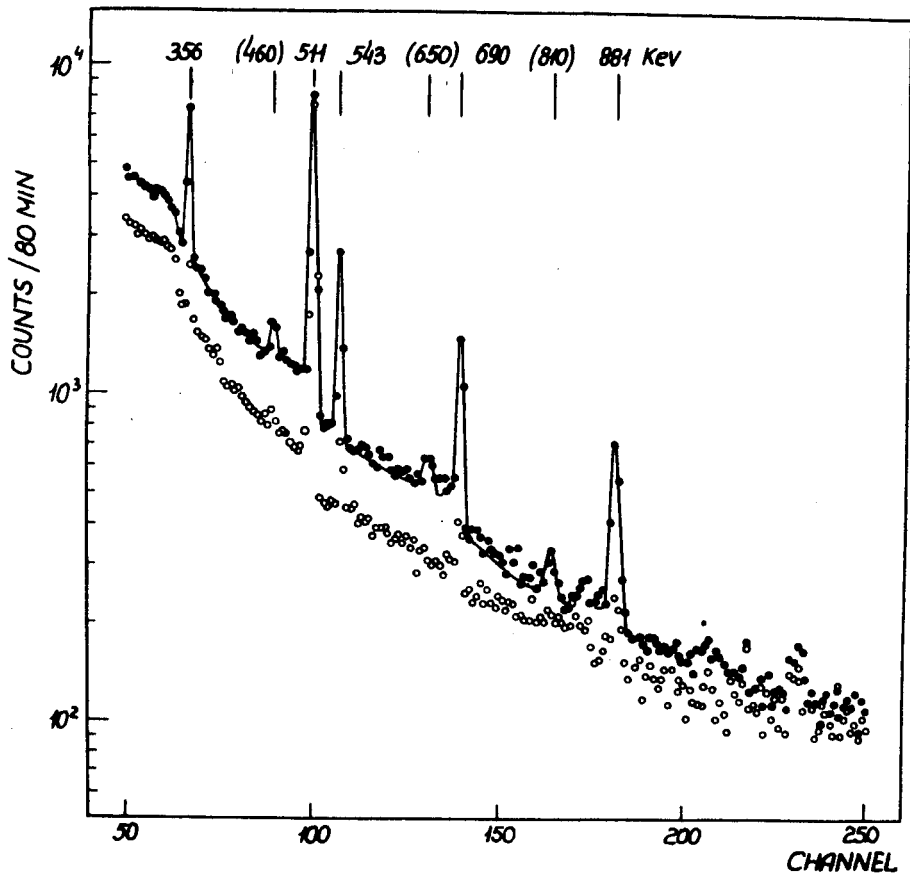


Рис. 2. Задержанные γ -спектры, измеренные Ge(Li)-детектором объемом 6 см³ в реакции $^{122}\text{Sn} + ^{12}\text{C}$. (Длительность облучения — 7 мсек, длительность измерения — 10 мсек, задержка между первым (●) и вторым (○) спектрами — 20 мсек; толщина металлической мишени — 6 мг/см², энергия падающих ионов $^{12}\text{C}^{2+}$ — 65 Мэв, средний ток $\approx 0,1$ мка.

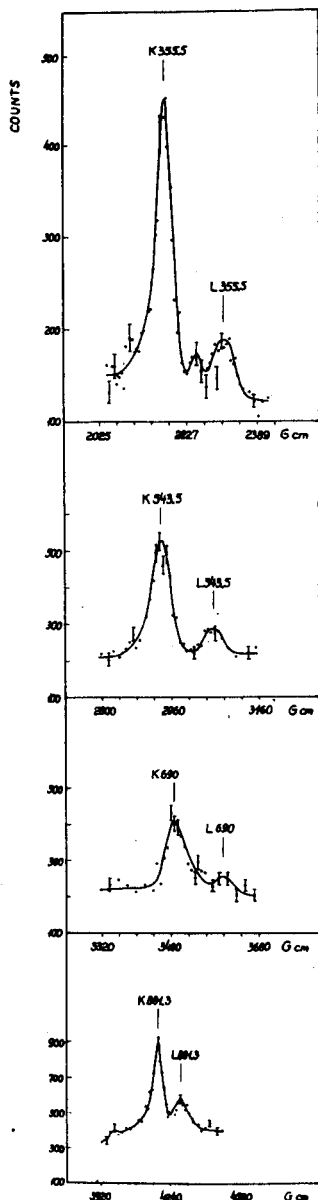


Рис. 3. Спектр электронов внутренней конверсии переходов 365, 344, 690 и 881 кэв изомера $^{130}\text{Ba}^m$, измеренный безжелезным тороидальным β -спектрометром между импульсами пучка в реакции $^{122}\text{Sn}(^{12}\text{C}, 4n) ^{130}\text{Ba}^m$. (Длительность импульса пучка - 1,5 мсек, длительность между импульсами пучка - 4,1 мсек, средний ток = 0,2 мка, энергия падающих ионов $^{12}\text{C}^{2+}$ - 67 Мэв, толщина металлической мишени - 8 мг/см 2 , степень обогащения оловом 122 - 83,3%). Ординаты отнормированы на одинаковый интеграл тока.

3. Результаты

Мультипольности переходов 544, 690 и 881 кэв определялись путем сравнения экспериментальных интенсивностей электронов внутренней конверсии на К -оболочке с расчётными значениями в предположении, что переход 356 кэв имеет мультипольность E2 . В таблице 1 экспериментальные отношения интенсивностей электронов внутренней конверсии на К -оболочке I_e сопоставлены значениям $\frac{a_K I_\gamma}{a_{K356} (E2)}$ для разных мультипольностей интересующего перехода . Погрешности этих значений обусловлены погрешностями относительных интенсивностей у -переходов I_γ , данных во втором столбце таблицы. Мультипольности с $L > 3$ можно исключить на основе экспериментального значения периода полураспада изомера. Как показывает сравнение, мультипольность переходов 544 и 690 кэв подтверждается как E2 , а мультипольность перехода 881 кэв – как M2 .

Таким образом, подтверждается вариант В схемы распада изомера (рис.1): изомерный уровень имеет спин 8⁻ и распадается M2 -переходом 811 кэв на уровень 6⁺ ротационной полосы основного состояния. Правда, большая интенсивность нижнего перехода 356 кэв (см. табл. 1) указывает на то, что при распаде изомера имеется еще слабый параллельный каскад на уровень 2⁺. Действительно, в у -спектре наблюдались слабые короткоживущие линии 460, 650 и 810 кэв (см. рис. 2), но доказать их принадлежность к ¹⁸⁰Ba ^m не удалось из-за малой интенсивности.

4. Обсуждение

$$\text{Фактор задержки изомерного перехода составляет } F = \frac{T_{1/2 \text{ exp}}}{T_{1/2 \text{ s. p.}}} \approx 10^7$$

Такой большой фактор задержки не встречается среди сферических ядер, но является характерным для K -запрета. Степень запрета составляет $|\Delta K| = L = 8$, а фактор задержки на единицу запрета лишь немногим более одного порядка. Это объясняется, по-видимому, тем, что ядро ¹⁸⁰Ba лежит на границе области деформации. Подобное ослабленное действие K -запрета уже известно для ядра ¹⁹⁰Os ^{/4/}.

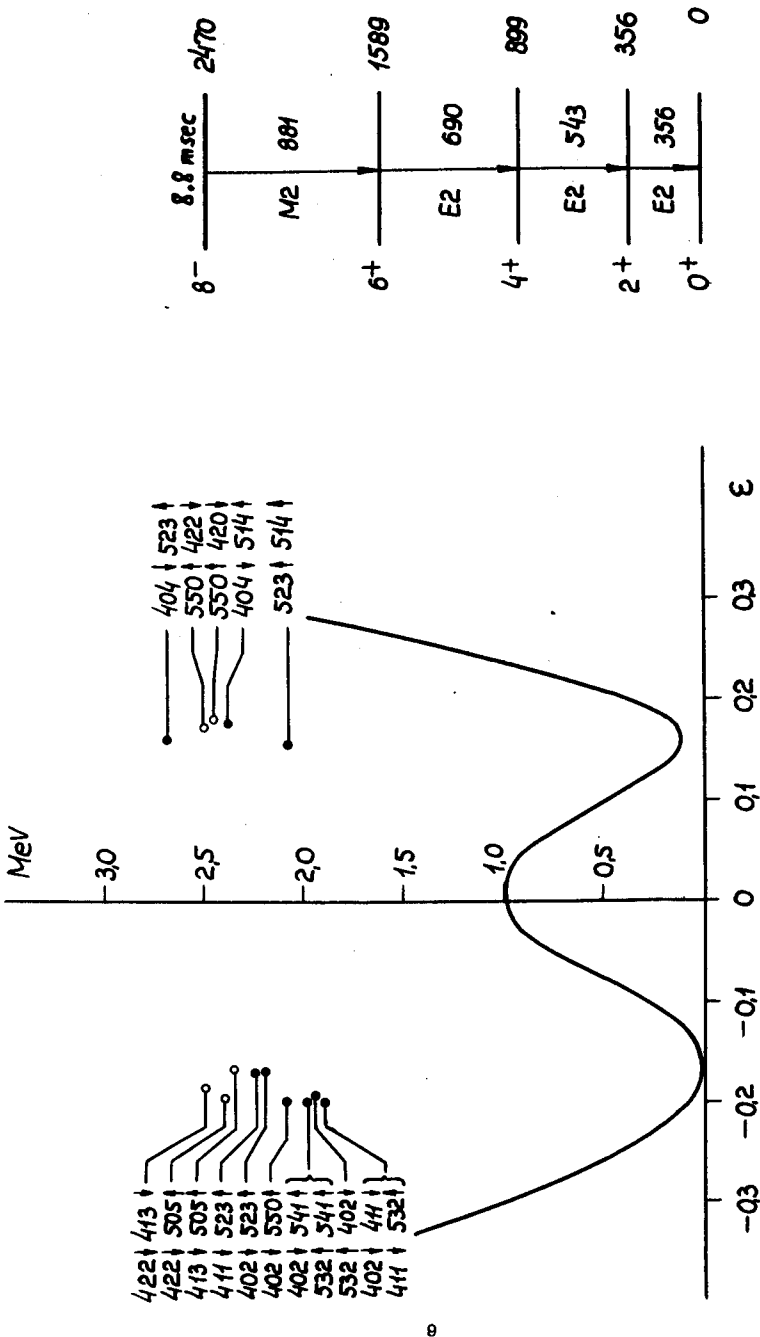
Таблица I

	E_γ (кэв)	$355,5 \pm 1,0$	$543,5 \pm 1,5$	$690,0 \pm 2,0$	$881,3 \pm 1,0$
I_γ	1,0	$0,9 \pm 0,1$	$0,8 \pm 0,1$	$0,7 \pm 0,1$	
I_e	1,0	$0,32 \pm 0,02$	$0,16 \pm 0,02$	$0,24 \pm 0,03$	
$\alpha_K^{(E1)} \cdot I_\gamma$	--	$0,96 \pm 0,10$	$0,51 \pm 0,06$	$0,027 \pm 0,004$	
$\alpha_{K356}^{(E2)} \cdot I_\gamma$	1,0	$0,28 \pm 0,03$	$0,14 \pm 0,02$	$0,064 \pm 0,009$	
$\alpha_K^{(E3)} \cdot I_\gamma$	--	$0,72 \pm 0,08$	$0,32 \pm 0,04$	$0,14 \pm 0,02$	
$\alpha_{K356}^{(E2)} \cdot I_\gamma$	--	$0,39 \pm 0,04$	$0,19 \pm 0,02$	$0,090 \pm 0,013$	
$\alpha_K^{(M1)} \cdot I_\gamma$	--	$1,2 \pm 0,13$	$0,53 \pm 0,07$	$0,23 \pm 0,03$	
$\alpha_{K356}^{(E2)} \cdot I_\gamma$	--	$3,1 \pm 0,35$	$1,24 \pm 0,16$	$0,48 \pm 0,07$	

EXPERIMENT

THEORY

РИС. 4. Схема нижайших двухквазичастичных возбужденных состояния ядра ^{190}Ba по расчетам, основанным на работе (● — двухнейтронные, ○ — двухпротонные, — экспериментальная схема распада изомера $^{190}\text{Ba}^m$ (справа)).



На рис. 4 приводится схема нижайших двухквазичастичных возбужденных состояний ядра ^{130}Ba по расчётам Арсеньева и др.^{/5/}. Имеется два состояния со спином 8^- и с энергией возбуждения, близкой к экспериментальному значению: двухнейтронное состояние $\pi 404\downarrow + \pi 514\downarrow$ при $\epsilon > 0$ и двухпротонное состояние $p 413\downarrow + p 505\downarrow$ при $\epsilon < 0$. Двухнейтронное состояние 8^- не является изомерным в этой схеме. Однако точность расчёта энергий возбуждений невелика, так как схема одночастичных уровней в интересующей области ядер не известна достаточно хорошо. Кроме того, при учёте спин-спинового взаимодействия уровень $\pi 523\uparrow + \pi 514\uparrow$ поднимается, в то время как уровень $\pi 404\downarrow + \pi 514\downarrow$ опускается.

Есть одно экспериментальное указание на то, что изомерный уровень является двухнейтронным состоянием. В ядре ^{132}Ce с $N = 74$, как и у ^{130}Ba , недавно обнаружен, по-видимому, подобный изомер с энергией возбуждения 2,34 Мэв, который распадается на уровень 6^+ ротационной полосы^{/6/}. Нами были предприняты попытки найти соответствующие изомеры в ядрах $^{134}\text{Nd}_{74}$ и $^{136}\text{Sm}_{74}$ в реакциях $(^{40}\text{Ar}, 3\pi)$ и $(^{40}\text{Ar}, 4\pi)$ при бомбардировке мишеней из естественного молибдена и рутения ионами $^{40}\text{Ar}^{6+}$. Но линии в задержанном γ -спектре с периодом полу-распада в пределах 0,2 . . . 200 мсек не были обнаружены.

Авторы выражают благодарность академику Г.Н.Флерову, проф. З.Вильгельми и проф. В.Г.Соловьеву за интерес к работе, Д.А.Арсеньеву за обсуждение результатов и проведение расчётов и группе эксплуатации циклотрона У-300, руководимой Б.А.Загером, за обеспечение чёткой работы ускорителя.

Л и т е р а т у р а

1. K.F.Alexander, W.Neubert, H.Rotter, S.Chojnacki, Ch.Droste, T.Morek. Preprint JINR, E6-4278, Dubna 1969.
2. H.F.Brinckmann, C.Heiser, K.F.Alexander, W.Neubert, H.Rotter. Nucl. Phys. 81 (1966) 233.
3. G.Gerschel et al. Nuovo Cim. 37 (1965) 1756.
4. G.Scharff - Goldhaber et al. Phys. Rev. 111 (1958) 913.

5. A.Arseňev, A.Sobičevski, V.G.Solov'ev, Препринт ОИЯИ, Р4-4054, Дубна, 1968.
6. D.Ward, R.M.Diamond, F.S.Stephens, Nucl. Phys. A 117 (1968) 309.

Рукопись поступила в издательский отдел

21 марта 1969 года.